

مجله دانشکده پزشکی  
دانشگاه علوم پزشکی تهران  
سال ۶۲، شماره ۲، صفحات ۸۹ تا ۹۸ (۱۳۸۳)

## تهیه و تخلیص IL-2 از محیط کشت سلولهای Jurkat

مریم نوری‌زاده، دکتر جمشید حاجتی، مریم حسینعلی‌ایزد، دکتر طاهره موسوی‌شبستری  
گروه ایمونولوژی، دانشکده پزشکی، دانشگاه علوم پزشکی تهران

### چکیده

**مقدمه:** نقش سایتوکاین‌ها بعنوان ملکولهای رابط بین سلولی و تنظیم کننده عملکرد ایمنی بدن از مدت‌ها پیش شناخته شده و IL-2 که یکی از مهم‌ترین سایتوکاین‌های بدن ذر تنظیم پاسخ‌های ایمنی می‌باشد، بسیار مورد توجه محققان ایمونولوژی در زمینه‌های آزمایشگاهی و کلینیکی قرار دارد.

**مواد و روش‌ها:** در تحقیق حاضر که هدف آن، تولید و جداسازی IL-2 می‌باشد، از یک رده سلولی انسانی T بنام Jurkat که منبع خوبی برای تولید IL-2 در مقایسه با سایر منابع بوده و مقادیر متناسبی از IL-2 را تولید می‌نماید، استفاده شده است. از آنجا که زمان مناسب تحریک سلول، غلظت مناسب میتوژن و مدت زمان تحریک سلولها در تولید بهینه IL-2 اهمیت دارد، لذا این سه پارامتر به طور جداگانه مورد ارزیابی قرار گرفتند. پس از آن محیط رویی حاصل از تحریک سلولها به منظور دستیابی به مقادیر کافی از IL-2 و حذف مواد مداخله گر با استفاده از دستگاه، آمیکون تغليظ شده و میزان کل پروتئین آن سنجیده شد و در نهایت جهت اندازه‌گیری میزان IL-2 تولید شده از روش الایزا و به منظور تعیین وزن مولکولی IL-2 بدست آمده از الکتروفورز SDS-PAGE استفاده گردید. ستون آنالیتیکال HPLC با روش Reverse phase نیز جهت تأیید و تطابق این ملکول با IL-2 استاندارد بکار گرفته شد. به منظور بررسی فعالیت بیولوژیک IL-2 نیز از روش سنجش بیولوژیک با استفاده از لنفوبلاست‌های انسانی استفاده گردید.

**یافته‌ها:**

نتیجه گیری و توصیه ها:

وزن ملکولی ۱۵/۵ کیلودالتون و pH ایزوالکتریک حدود ۶/۵ می باشد (۱). Tanaguchi و همکاران در سال ۱۹۸۳ با استفاده از ویژگی های ساختاری IL-2 Tوانستند cDNA آنرا تعیین کرده و با کلون نمودن آن مقادیر زیادی IL-2 نوترکیب تهیه کنند (۴). تهیه مقادیر زیاد IL-2 را برای استفاده درمانی از آن هموار نمود بطوری که در سالهای اخیر این سایتوکاین بعنوان یکی از عوامل مؤثر در درمان سرطانها از جمله ملانوما، کارسینومای سلول های کلیه، لمفومای غیرهوچکین و کارسینومای گسترش نیافته کلون، شناخته شده است (۵،۶). همچنین از IL-2 بعنوان ادجوان در تهیه برخی واکسنها استفاده می شود (۶). در ضمن مصرف IL-2 طبیعی نسبت به نوترکیب عوارض جانبی کمتری ایجاد می کند. یکی دیگر از مصارف IL-2 علاوه بر ایمونوتروپی، تهیه کیت های تشخیصی با استفاده از IL-2 و آنتی بادی های اختصاصی علیه آن می باشد که کاربرد فراوانی در تشخیص برخی بیماری های ایمنی و یا خود ایمن دارد. بنابراین: هدف اصلی از تحقیق حاضر تولید ایترلوکین ۲ از رده سلولی Jurkat و تخلیص جزئی آن می باشد.

## مقدمه

ایترلوکین ۲ (IL-2) که سابقاً بعنوان فاکتور رشد سلول های T (TCGF) شناخته می شد، در سال ۱۹۷۶ توسط مورگان و همکارانش در محیط کشت لنفوسيت های تحریک شده با PHA مورد شناسایی قرار گرفت. ایترلوکین ۲ یک از سایتوکاین های مهم در پاسخ ایمنی بوده و نقش اساسی در هدایت و تکوین پاسخ های سلولی و هومورال به عهده دارد. این سایتوکاین عمدتاً توسط لنفوسيت های T helper کمکی (T helper) تحریک شده با آنتی ژن یا میتوژن ترشح شده و با اثر اتوکرین و پاراکرین موجب تحریک رشد و تمایز سلولهای دارای گیرنده IL-2 و بروز پاسخ در آنها میگردد (۱). تعیین ویژگی های ملکولی و عملکردی IL-2 همانند سایر سایتوکاین ها بعلت مقادیر بسیار کم و مشکلات فراوان در تخلیص آنها به آسانی امکان پذیر نبوده است. با کشف لاین های سلولی تولید کننده IL-2 از جمله سلولهای Jurkat که از رده سلولی لوسمیایی T می باشد، دسترسی به یک منبع ثابت تولید کننده IL-2 انسانی فراهم شد. سلول های Jurkat تحت PMA تأثیر محک هایی مانند ConA و یا PHA به همراه بصورت in vitro مقدار زیادی IL-2 تولید می نماید (۲). IL-2 اولین لمفوکاینی است که بطور کامل مورد شناسایی قرار گرفت و فعالیت بیولوژیک آن با استفاده از لاین سلولی وابسته به IL-2 مانند سلولهای سیتوکسیک CTLL-2، سنجیده شد (۳). تعیین ویژگی های ملکولی IL-2 امکان پذیر نبود مگر آنکه این ملکول بطور کامل تخلیص می شد. بدین منظور، دانشمندان از خصوصیات ذاتی ملکول از جمله سایز، بار الکتریکی، تمایل اتصال به رنگ، هیدروفوبیستی و اتصال به آنتی بادی های اختصاصی مونوکلونال در روش های مختلف تخلیص استفاده نمودند و توانستند IL-2 را با درجات خلوص متفاوتی تهیه کرده و علاوه بر تعیین ویژگی های ساختاری، آنتی بادی منوکلونال اختصاصی علیه آن را نیز تهیه کنند (۲). آنالیز بیوشیمیایی ملکول تخلیص شده نشان داد که ملکول IL-2 گلیکوپروتئینی هیدروفوب با

## مواد و روشها

### ۱. کشت سلولهای Jurkat و تحریک آنها جهت تولید IL-2:

الف) رسم منحنی رشد لگاریتمی سلول های Jurkat: دانستن زمان آغاز رشد تصاعدی سلول ها جهت تحریک یا فریز نمودن آنها بسیار اهمیت دارد. بدین منظور سه غلظت  $10^4$ ,  $3 \times 10^4$ ,  $10^5$  cells/ml) از سلول های Jurkat به مدت ۸ روز کشت داده شد و پس از ۲۴, ۴۸, ۷۲, ..., ۱۹۲ ساعت با تریپان بلو شمارش گردید و از میانگین سه عدد بدست آمد، منحنی رشد سلول ها رسم شد. درصد زنده بودن سلول ها طبق فرمول ۱ محاسبه می شود:

فرمول ۱:

$$\text{Viability} = \frac{\text{سلول‌های زنده}}{\text{سلول‌های زنده} + \text{سلول‌های مرد}} \times 100$$

منافذ فیلتر می‌باشند با فشار عبور کرده و ملکول‌های درشت تر باقی می‌مانند. به منظور دستیابی به ملکول‌هایی با وزن ملکولی  $30\text{KD}$  و کمتر ابتدا از فیلتر  $PM\ 30$  استفاده شد و بدین ترتیب یک تخلیص جزئی صورت گرفت. پس از آن محلول خروجی حاوی مولکول‌های با وزن مولکولی  $KD\ 30$  و کوچکتر از آن با فیلتر  $10\text{PM}$  تغليظ گردید بطوریکه ملکول‌های اضافی کوچکتر از  $KD\ 10$  خارج شده و محلول باقیمانده شامل ملکول‌های بین  $10$  و  $30\text{ KD}$  خواهد بود.

(ج) تغليظ با استفاده از *centriprep*: اساس اين وسیله جداسازی مولکول با فیلتراسیون تحت تأثیر سانتریفوژ با دور بالا می‌باشد. در این آزمایش از *centriprep* با فیلتر YM-3 که ملکول‌های با اندازه  $10KD$  و کوچکتر را از خود عبور داده و ملکول‌های درشت‌تر را در محفظه داخلی نگه‌دارد استفاده شده است. بنابراین محلول موجود در محفظه داخلی در  $-20^{\circ}\text{C}$  نگهداری گردید.

(د) تغليظ با دستگاه *concentrator*: اين دستگاه که نام دیگر آن *speed vaccum* می‌باشد همانند يك میکروفیوزر عمل می‌کند و با ایجاد همزمان حرکت سریع دورانی و خلاء موجب تبخیر حللهای موجود در محلول می‌گردد. نتایج حاصل از الکتروفورز SDS-PAGE (نشان داده نشده) نشان داد که روش تغليظ با آمیکون در بین سه روش اول نتیجه بهتری دارد بنابراین در مقیاس حجمی نیز از این روش استفاده نمودیم و محلول حاصل را با *concentrator* مجدداً تغليظ کردیم. بطوریکه از  $600\text{ml}$  محلول خام در نهایت  $700\text{c}\mu\text{l}$  محلول تغليظ شده بدست آوردیم، یعنی محلول در حدود  $85\%$  برابر تغليظ شد.

۳. سنجش پروتئین: در روش برادفورد سنجش پروتئین بر اساس اتصال رنگ به پروتئینهای محلول انجام می‌شود. حساسیت این روش  $200-25\ \mu\text{g}/\text{ml}$  میکروگرم پروتئین در میلی *working* لیتر می‌باشد. در روش برادفورد  $1\text{ml}$  از محلول برادفورد با  $100\text{ ml}$  از نمونه مجهول و استاندارد به مدت ۱ دقیقه مخلوط شده و میزان جذب آنها در طول موج  $595\text{nm}$  توسط اسپکتروفوتومتر خوانده می‌شود، سپس با رسم منحنی استاندارد و در دست داشتن میزان جذب محلول‌های استاندارد می‌توان غلظت پروتئین نمونه‌ها را

(ب) روش تحریک کردن سلول‌های زنده: به منظور تعیین بهترین غلظت میتوژن، سلول‌ها به تعداد اولیه  $10^5\text{ cells/ml}$  در محیط کشت RPMI-1640 حاوی  $100\text{ }\mu\text{g/ml}$  استریتومایسین و  $100\text{ }\mu\text{g/ml}$  گلوتامین به اضافه  $10\%\text{ FCS}$  در پلیت ۹۶ خانه کشت داده شدند و در روز سوم که طبق نمودار منحنی رشد لگاریتمی به تعداد  $10^6\text{ cells/ml}$  رسیدند در محیط کشت فاقد سرم شمارش شده و با غلاظت‌های متفاوتی از ConA+PMA و PHA+PMA تحریک شدند و محیط رویی سلول‌ها را پس از ۲۲ ساعت جمع‌آوری گردید. به منظور دستیابی به زمان مناسب جمع‌آوری محیط رویی، سلول‌ها در شرایط مشابه، با  $20\ \mu\text{g/ml}$  conA و  $10\ \text{ng/ml}$  PMA تحریک شده و پس از  $20, 22, 24, 18, 16$  ساعت سوبرناتانت آنها جمع‌آوری گردید. در نهایت میزان IL-2 سوب حاصل از هر دو پلیت با کیت الایزای IL-2 اندازه‌گیری شد.

۲. تغليظ مایع رویی حاصل از تحریک سلول Jurkat: برای این منظور چند روش در مقیاس کم مورد ارزیابی قرار گرفت. (تمام مراحل تغليظ در دمای  $4^{\circ}\text{C}$  انجام گرفته است).

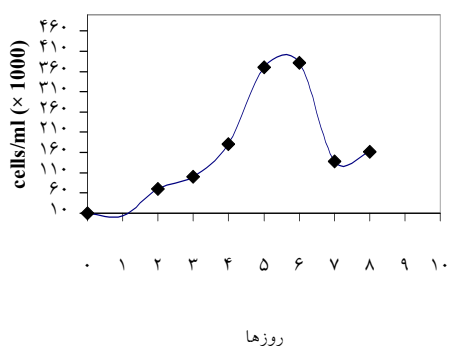
(الف) تغليظ با روش salting out: در این روش از نمک سولفات آمونیوم اشباع در دو مرحله استفاده شد. ابتدا رسوب گذاری با محلول نمک اشباع  $35\%$  به منظور جداسازی مولکول‌های درشت مانند PHA و سپس رسوب گذاری محلول رویی حاصل از مرحله اول با محلول نمک اشباع  $85\%$  به منظور جداسازی مولکول‌های کوچک مانند IL-2 انجام گرفت که رسوب حاصل جمع‌آوری و در بافر PBS حل شد و برای انجام SDS-PAGE در  $-20^{\circ}\text{C}$  نگهداری گردید.

(ب) تغليظ با استفاده از دستگاه آمیکون (Amicon): دستگاه آمیکون یک سیستم بسته خلا و فشار را متعاقب اتصال به کپسول ازت جهت فیلتراسیون مایع مورد نظر برقرار مینماید. در این روش ملکول‌هایی که کوچکتر از

لنسوبلاست با ایستی تعداد  $10^7$  cells/ml از ۲۰ ساعت لنسوسیت های خون محیطی با ۱٪ PHA به مدت ۷۲ ساعت در محیط حاوی ۵٪ FCS و  $5 \times 10^{-5}$  ME-2 تحریک cells/ml شوند. سپس لنسوبلاست های بدست آمده به تعداد  $10^7$  و به مدت ۱۸ ساعت در محیط مشابه و در مجاورت نمونه های تغليظ شده و نشده قرار داده شدند. پس از آن تست MTT  $10 \mu\text{l}/\text{well}$  با غلظت  $5 \text{ mg/ml}$  (MTT) در  $570 \text{ nm}$  OD آن را در  $570 \text{ nm}$  خوانده می شود.

## یافته ها

- رسم منحنی رشد لگاریتمی سلول های Jurkat نتایج حاصل از میانگین شمارش سلول ها در نمودار (۱) نشان می دهد که رشد لگاریتمی سلول ها از روز دوم آغاز شده و با غلظت اولیه  $10^0 \text{ cell/ml}$  در روز سوم به غلظت مطلوب برای تحریک یعنی  $10^6$  می رسد. مطابق نمودار پیک منحنی رشد سلول ها در روز پنجم می باشد.



نمودار ۱- منحنی رشد لگاریتمی سلول های JURKAT با غلظت اولیه  $10^0 \text{ cell/ml}$  در طی ۸ روز کشت متواال

- نتایج حاصل از بررسی میزان تولید IL-2 توسط تست الیزا:

۱- تأثیر غلظت های متفاوتی از دو میتوژن ConA و PHA بر تولید IL-2 از سلول های Jurkat و اثر زمان در تولید آن: نتایج حاصل در جدول (۱) و (۲) و (۳) نشان می دهد

بدست آورد.

۴. تأیید وجود IL-2 با استفاده از SDS-PAGE در این مرحله از ژل انبار کننده ۳٪ و ژل جدا کننده ۱۲/۵٪ استفاده شد. انتخاب حجم نمونه ها بر اساس غلظت بدست آمده از سنجش پروتئین صورت می گیرد تا غلظت همه نمونه ها تقریباً یکسان باشد. رنگ آمیزی ژل با روش نیترات نقره انجام گرفت.

۵. تأیید وجود IL-2 با استفاده از RP-HPLC: ما در این مطالعه از ستون C<sub>4</sub> آنالیتیکال استفاده گردید. کروماتوگرافی فاز مایع بر اساس تمایل اتصال مولکول ها به فاز ثابت (ماتریکس داخل ستون) و جدا شدن آنها از فاز ثابت در اثر عبور فاز متحرک (گرادیان بافرها) از ستون انجام می گیرد. فاز متحرک شامل بافرهای A و B می باشد. بافر A: آب دوبار تقطیر +: TFA ۰.۱٪ و بافر B: استونیتریل +: TFA ۰.۰۵٪ سرعت عبور بافر<sup>۱</sup> از ستون  $0.8 \text{ ml/min}$  و گرادیان خطی عبور بافر  $80\%/\text{ml}$  می باشد.  $10 \mu\text{l}$  از نمونه استاندارد با غلظت  $35 \text{ U/ml}$  به ستون تزریق شد و پیک IL-2 استاندارد در دقیقه ۲۴ و هنگام عبور  $50-60$  درصد از بافر B مشاهده و رسم گردید. سپس  $50 \mu\text{l}$  از نمونه مجھول به ستون تزریق و پیک آن در دقیقه ۲۶/۶ مشاهده شد. جهت تطابق پیک های استاندارد و نمونه مجھول co-chromatography انجام گرفت یعنی اینکه مخلوطی از نمونه استاندارد و مجھول با غلظت های قبلی به ستون تزریق و در نهایت یک پیک واحد رسم شد که نشان دهنده مطابقت دو مولکول با یکدیگر است. پس از انجام کروماتوگرافی با استفاده از سطح زیر منحنی پیکها میزان تقریبی IL-2 با استفاده از فرمول ۲ تخمین زده شد:

فرمول ۲:

$$\frac{\text{غلظت نمونه استاندارد} \times \text{سطح زیر منحنی نمونه مجھول}}{\text{سطح زیر منحنی نمونه استاندارد}} = \frac{\text{غلظت نمونه مجھول}}{\text{سطح زیر منحنی نمونه مجھول}}$$

## ۶. محلول تغليظ شده: Bioassay

یکی از روش های سنجش بیولوژیک IL-2 بررسی میزان تأثیر آن در رشد لنسوبلاست ها می باشد. به منظور تهیه

<sup>1</sup> flow rate

می‌توان بجای ConA از PHA با غلظت  $1 \mu\text{g/ml}$  نیز استفاده کرد.

که میزان IL-2 تولید شده تحت تأثیر ConA با غلظت PMA با غلظت  $10 \mu\text{g/ml}$  و  $20 \mu\text{g/ml}$  و مدت زمان تحریک ۲۰-۲۲ ساعت بیش از سایر موارد می‌باشد و در صورت لزوم

جدول ۱- نتایج اثر غلظت‌های مختلف ConA و PHA به همراه PMA در تولید IL-2 از سلول‌های JURKAT

نمونه‌ها	غلظت PHA ( $\mu\text{g/ml}$ )	غلظت ConA ( $\mu\text{g/ml}$ )	غلظت PMA (ng/ml)	جذب نوری	غلظت IL-2
۱	-	-	-	-	۰/۱۰۴
۲	-	۱۰	۵	۰/۱۹۰	۲۰۰۰
۳	-	۱۰	۱۰	۰/۱۹۵	۲۱۵۰
۴	-	۱۰	۲۰	۰/۱۹۵	۲۱۵۰
۵	-	۱۰	۵۰	۰/۲۰۹	۲۲۵۰
۶	-	۲۰	۵	۰/۲۱۴	۲۶۵۰
۷	-	۲۰	۱۰	۰/۲۳۷	۲۸۰۰
۸	۱/۵	-	۱۰	۰/۱۵۶	۱۴۷۰
۹	۱	-	۱۰	۰/۲۰۰	۲۲۰۰

جدول ۲- نتایج حاصل از اثر زمانهای مختلف تحریک سلول‌های JURKAT در تولید IL-2

مدت زمان تحریک سلولها	جذب نوری	غلظت IL-2
بدون میتوژن پس از ۲۰ ساعت	-	۰/۰۲۵
۱۶ ساعت پس از تحریک	۰/۲۷۵	۴/۵
۱۸ ساعت پس از تحریک	۰/۲۹۸	۵
۲۰ ساعت پس از تحریک	۰/۳۹۸	۷/۹
۲۲ ساعت پس از تحریک	۰/۳۹۵	۷/۸
مدت زمان تحریک سلولها	جذب نوری	۶/۵

جدول ۳- نتایج بررسی میزان IL-2 قبل و بعد از تغليظ

نمونه‌ها	(Pg/ml) IL-2	غلظت
قبل از تغليظ	۱۵	-
ملکول‌های کوچکتر از ۱۰ کیلو دالتون	۰	۰/۰۲۵
بعد از تغليظ (رقیق نشده)	۱۹۰	-
بعد از تغлиظ (۲ برابر رقیق شده)	۱۲۰	میانگین:
بعد از تغليظ (۱۰ برابر رقیق شده)	۲۵	۲۲۵ (Pg/ml)
بعد از تغليظ (۱۰۰ برابر رقیق شده)	۰	-

جدول ۴- میانگین جذب و غلظت نمونه‌ها با روش برادفورد

نمونه‌ها	قبل از تغليظ	بعد از تغليظ با فیلتر 30PM	بعد از تغليظ با فیلتر 10PM	جذب نوری	غلظت IL-2	فاکتور رقت
قبل از تغليظ	-	-	-	۰/۴۱۵	۳۸۲	۳/۳
بعد از تغليظ با فیلتر 30PM	-	-	۳۰PM	۰/۱۷۱	۲۷۱/۶	۷
بعد از تغليظ با فیلتر 10PM	-	-	10PM	۰/۲۱۷	۲۶۶/۶	۵

۳- نتایج سنجش پروتئین مایع رویی قبل و بعد از تغليظ:

به منظور تعیین میزان پروتئین در محلول رویی حاصل از تحریک سلول‌ها، قبل و بعد از تغليظ از روش سنجش برآفورد استفاده گردید. بدین منظور ابتدا، منحنی استاندارد برآفورد با استفاده از محلول‌های استاندارد BSA شد و سپس غلظت نمونه‌های مجھول با کمک آن، محاسبه گردید. نتایج سنجش پروتئین در جدول (۴) نشان داده شده است.

## ٤- نتائج الكتروفورز SDS-PAGE

الکتروفورز SDS-PAGE نمونه تغليظ شده با فيلتر های 30 و 10 PM توسط دستگاه آميكون و همچنین نمونه قبل از تغليظ و نمونه حاوی ملکول های کوچکتر از ۳۰ KD در شکار (۱) نشان داده شده است.

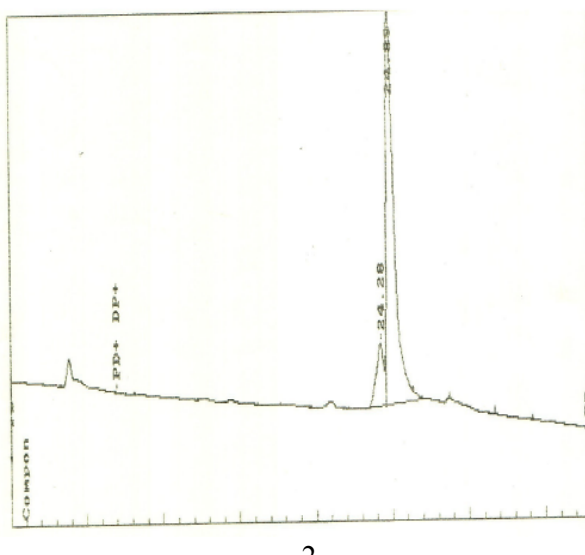
۵- نتیجه حاصل از کر و ماتوگرافی با روش RP-

:HPLC

پیک‌های مربوط به  $\text{IL-2}$  استاندارد و نمونه پس از تخلیص در نمودارهای (۲) و (۳) نشان داده شده است. نتیجه حاصل از **Cochromatography** هر دو نمونه نیز در نمودار (۴) مشاهده می‌شود.

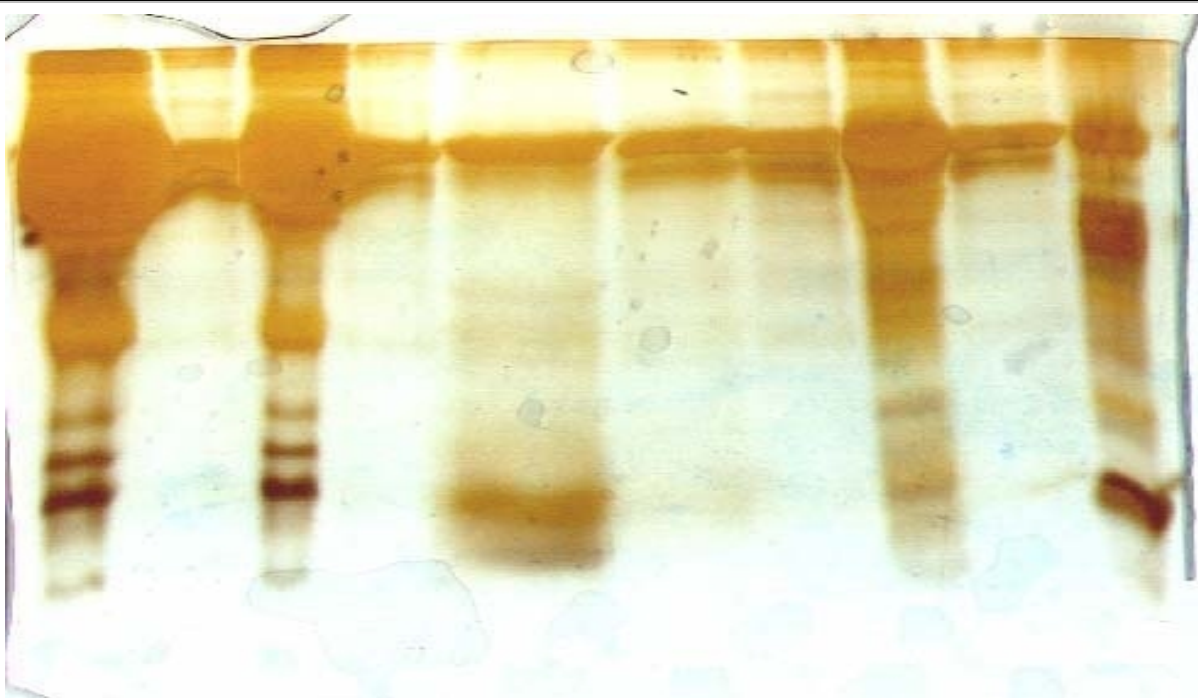
نمودار ۲ - پیک استاندارد

IL



#### نمودار ۴ - Co-chromatography نمونه استاندارد و مجهول

(بیک ۲) غونه استاندارد (بیک ۱) - غونه مجهول (بیک ۳)



شکل ۱- الکتروفورز SDS-PAGE از نمونه‌های تغییر شده

## بحث

مطالعه بر روی لنفوسيت‌ها و عملکرد آنها سابقه طولانی دارد اما آنچه مسلم است آن است که کشف سایتوکاينها به عنوان ملکولهای رابط بین سلولی، تحول عظیمی در علم ايمونولوژی به شمار می‌رود.

در تحقیق حاضر که هدف آن تهیه و تولید IL-2 طبیعی می‌باشد. از بین منابع *in vitro* مختلف سلول‌های Jurkat را انتخاب نمودیم، زیرا سلول‌های Jurkat تحریک شده ۱۰۰ تا ۳۰۰ برابر بیش از لنفوسيت‌های خون محیطی تحریک شده با میتوژن IL-2 تولید می‌نماید (۷). در ضمن اینکه استفاده از این رده سلولی مشکل تغییرات منحصر به فرد لنفوسيت‌های خون محیطی که می‌تواند در تیتر IL-2 اثر داشته باشد را ایجاد نمی‌کند (۹,۸) در کاربردهای بالینی IL-2 تولید شده از سلول‌های Jurkat نسبت به IL-2 نوترکیب، صرفنظر از گلیکوزیلاسیون، عوارض جانبی کمتری ایجاد می‌نماید (۱۰).

فعال‌سازی ژن IL-2 به دو سیگنال اولیه و ثانویه نیاز دارد که سیگنال اولیه با تحریک TCR/CD3 از طریق

با استفاده از فرمول ۲ میزان تقریبی IL-2 بدست آمد: غلظت نمونه مجھول در  $50\mu\text{l}$  نمونه تزریق شده unit ۰/۱۴۸ بود که غلظت نهایی نمونه در  $1\text{ml}$   $2/96\text{ U/ml}$  معادل  $222\text{ pg/ml}$  بدست آمد.

### ۶- نتایج حاصل از Bioassay

نتایج حاصل از اثر IL-2 بر روی لنفوبلاستها در جدول (۵) نشان داده شده است. رسم نمودار استاندارد بدلیل عدم دسترسی به غلظتها متفاوتی از استانداردهای IL-2 امکانپذیر نبود، بنابراین غلظت IL-2 موجود در نمونه هابدست نیامد و تنها به ذکر جذب نوری حاصل، اکتفا شده است.

### جدول ۵- نتایج bioassay نمونه‌های استفاده از لنفوبلاست‌های انسان

نمونه‌ها	جذب نوری
کنترل منفی	۰/۰۲۷
کنترل مثبت	۰/۳۱۵
قبل از تغییر	۰/۲۰۶
ملکولهای کوچکتر از ۱۰ کیلو Dalton	۰/۰۶۰
ملکولهای بزرگتر از ۳۰ کیلو Dalton	۰/۱۱۰
ملکولهای بین ۱۰ و ۳۰ کیلو Dalton:	
بدون رقت	۰/۳۲۰
۲ برابر رقيق شده	۰/۲۷۲
۱۰ برابر رقيق شده	۰/۲۰۰

یونی و در نهایت کروماتوگرافی تمايلی<sup>۲</sup> به حجم‌های بسیار بالايی حدود ۵۰ لیتر مایع رویی حاصل از تحریک نیاز داشت و این خود مستلزم وجود چندین لیتر FCS و MHC در سطح سلولهای عرضه کننده آنتیژن ایجاد می‌شود که لکتین‌ها نیز می‌توانند این سیگنال را ایجاد کنند و سیگنال ثانویه غیراختصاصی آنتیژن نیز توسط سلولهای کمکی از جمله منوسیتها و سلولهای عرضه کننده آنتیژن تأمین می‌شود و مهمترین آنها IL-1 می‌باشد. مطالعات نشان می‌دهد که اولین سیگنال منجر به ترجمه آن می‌گردد (۱۱).

اینکه موجب افزایش و تقویت تولید IL-2 می‌گردد (۱۴، ۱۳). PMA بطور سینرژیسم با میتوژنها در تولید IL-2 نقش داشته و مستقیماً آنزیم پروتئین کیتاز C را فعال می‌نماید (۱۵، ۷) و با متوقف نمودن سلولها در فاز G<sub>1</sub> همچنین کاهش بیان رسپتور IL-2 موجب کاهش مصرف IL-2 و تجمع آن در محیط کشت می‌گردد (۱۷، ۱۶).

غلظت میتوژن، دانسته سلول، زمان تحریک و جمع‌آوری سلولها پس از تحریک در تولید بهینه IL-2 از اهمیت زیادی برخوردار است. نتایج حاصل از تحقیق حاضر نشان داد که بهترین زمان جهت تحریک سلولهای Jurkat روز سوم پس از کشت با غلظت اولیه ۱۰<sup>۰</sup> Cell/ml و غلظت نهایی ۱۰<sup>۱</sup> Cell/ml می‌باشد. از آنجا که حضور FCS در مراحل بعدی کار با محیط رویی حاصل از تحریک سلول‌ها ممکن است تداخل ایجاد کند سلول‌ها را در شرایط بدون سرم و در حضور ConA با غلظت ۲۰ µg/ml PMA و ۱۰ ng/ml با غلظت ۱۰ µg/ml PHA و ۱٪ تحریک نمودیم که مشابه غلظت‌های مورد استفاده در بسیاری از مطالعات بود. جمع‌آوری محیط رویی نیز ۲۰–۲۲ ساعت پس از تحریک انجام شد که در سایر گزارشات زمان ۱۸–۲۴ ساعت در نظر گرفته شده است (۱۸، ۸، ۷).

در مرحله بعد، پس از تحریک سلول Jurkat و جمع‌آوری مایعات رویی با توجه به اینکه انجام پروسه‌های متعدد تخلیص مانند ژل فیلتراسیون کروماتوگرافی تعویض

<sup>2</sup> Affinity chromatography

لنفوپلاست‌ها دارد. بنابراین ما توانستیم با تغليظ يك مرحله‌اي محيط کشت ميزان IL-2 قابل توجه اى بدبست آوریم.

#### چشم‌انداز آينده:

از آنجا که دستيابی به مولکول خالص IL-2 در تهيه کيت‌های تشخيصی از اهمیت بسزایی برخوردار است، لذا تهيه مقادیر زیادی از محيط کشت رویی سلول‌های تحريک شده و استفاده از روش‌های يك مرحله‌اي تخلیص پس از تغليظ محلول خام توصیه می‌شود، که اين روش يك مرحله‌اي می‌تواند شامل کروماتوگرافی Affinity و یا کروماتوگرافی فاز معکوس HPLC با سیستم Preparative باشد که در بسیاری از مقالات نیز بکار رفته است

روش‌های تخلیص می‌باشد میتوان ملکول مورد نظر را با درجه خلوص بسیار بالا بدبست آورد. در این مطالعه بدليل استفاده از ساده‌ترین و کم‌هزینه‌ترین روش جداسازی و عدم دسترسی به مقادیر زیادی از آنتی‌بادی مونوکلونال جهت کروماتوگرافی Affinity مقدار IL-2 بدبست آمد که از مقادیر فوق الذکر می‌باشد اما به منظور انجام مراحل تزریق به موش و تهیه آنتی‌بادی مونوکلونال علیه IL-2 که از اهداف بعدی این مطالعه می‌باشد کاربرد دارد. سنجش بیولوژیک IL-2 با استفاده از سلول‌های CTLL-2 حساس به IL-2 و همچنین لنفوپلاست‌های خون محیطی انسان و یا سلول‌های طحالی تحريک شده موش انجام می‌شود که به علت در دسترس نبودن CTLL-2 از لنفوپلاست‌های خون محیطی انسان استفاده نمودیم و مشاهده کردیم که نمونه تغليظ شده نسبت به محلول خام اثر چشمگيرتری در تکثیر

## منابع

1. Robb, R.J. IL-2: the molecule and its function. *Immunology Today*. 1984. 5(7): 203-209.
2. Robb, R.J. Human IL-2. *Methods in Enzymology*. 1985. 116: 493-530.
3. Kendall A. Smith. IL-2: Inception, Impact and Implications. *Science* 1988. 240: 1169-1176.
4. Taniguchi T. , Matsui H.. Fujita T. and et al. Structure and expression of a cloned cDNA for human IL-2. *nature (London)* . 1983.302: 305-307.
5. Joshua T.R. IL-2: its biology and clinical application in patient with cancer. *Can Investigation*. 1993. 11(4): 460-472.
6. Son young-IK , Mailliard R.B., Watkins S.C. and et al. Dendritic cells pulsed with apoptotic squamous cell carcinoma have anti-tumor effects when combine with IL-2. *Laryngoscope*. 2001. 111(8): 1472-1478.
7. Gillis. S., Smith, K. and et al. T cell Growth Factor: parameters of production and a quantitative microassay for activity. *J Immunol*. 1978. 120(6): 2027-2032.
8. Gillis. S., Watson, J. Biochemical and biological characterization of lymphocyte regulatory molecules. V. Identification of an IL-2 producing human leukemia, T cell line. *J Exp Med*. 1981. 154: 1455-1474.
9. Gearing, A.J.H., Bird, C.R. A practical approach lymphokine and interferon. 1989. P: 291-300.
10. مصطفی زاده، امراء... جداسازی ایترلوکین ۲ از سلولهای لاین لنفومایی (EL-4) موش. پایان نامه کارشناسی ارشد ایمونولوژی ، دانشگاه تربیت مدرس، ۱۳۷۱.
11. Weis, A., Wiskocil, R.C. and Stobo, J.D. The role of T3 surface molecules in the activation for IL-2 production reflects events occurring at a pre-translational level. *J Immunol*. 133(1): 336-342.
12. Janssen, R.A.J., Mulder, N.H. and Hauw, T. The immunobiological effects of IL-2 invivo. *Can Immunol Immunotherapy*. 1994. 39: 207-16.
13. Farrar, J.J., Mizel, S.B. and Fuller-Farrar, J. Macrophage independent activation of helper T cell. I: production of interleukin 2. *J Immunol*. 1980. 125: 793-800.
14. Didier, M., Claude, A., Ferrua, B. and Fehlmann, M. Regulation of IL-2 synthesis by cAMP in human T cells. *J Immunol*. 1987. 139: 1179-1184.
15. Barton, F., Watson, F.J., Mochizuki, D., Gillis, S. Biochemical and biologic characterization of IL-2 from a human T cell leukemia. *J Immunol* . 1981. 127(6): 2361-2365.
16. Bubenik J. Local and regional immunotherapy of cancer with IL-2. *J Can Res Clin Oncol*. 1990. 116: 1-7.
17. Gillis, S., Scheid, M. and Watson, J. Biochemical and biological characterization of lymphocyte regulatory molecules. *J Immunol*. 1980. 125(6): 2570-2578.
18. Kuziel, W.A., Greene, W.C. IL-2 and the IL-2 receptor: new insights into structure and function . *J Inves Derm*. 1990. 94(6). (suppl 1): 27s-32s.